



# Avaliação de MOF MIL-101(Fe) como catalisador heterogêneo nos processos Fenton e Foto-Fenton aplicados à degradação do corante Reactive Black 5

Maria E. A. D. Mota<sup>1\*</sup>, Vithor G. F. M. Oliveira<sup>1</sup>, César F. Piscoya<sup>1</sup>, Jhonatan D.M. Oliveira<sup>1</sup>, Erica J.M. Dantas<sup>1</sup>, Fausthon F. Silva<sup>3</sup>, Santiago Arias<sup>1</sup>, Alan G. Câmara<sup>1</sup>, Fabrício Motteran<sup>2</sup>, José G. A. Pacheco<sup>1</sup>

#### Resumo/Abstract

RESUMO - As estruturas metal-orgânicas (MOFs) têm se destacado catalisadores promissores em aplicações ambientais devido à elevada porosidade e área superficial e versatilidade estrutural. Neste estudo, a MOF MIL-101(Fe) foi sintetizada pelo método solvotermal e avaliada quanto ao seu desempenho na degradação do corante azo Reactive Black 5 (RB5), um poluente recalcitrante amplamente presente em efluentes têxteis. A caracterização do material, realizada por DRX, FTIR, TGA, área superficial e MEV/EDS, confirmou a formação da estrutura cristalina desejada, com comportamento térmico característico, área superficial específica de 222 m² g⁻¹ e morfologia octaédrica bem definida. Os ensaios catalíticos foram conduzidos em reator batelada com 300 mL de solução de RB5 (50 mg L⁻¹), utilizando MIL-101(Fe) a 0,5 g L⁻¹ e peróxido de hidrogênio (H₂O₂) em duas concentrações (6 mM e 12 mM). A fonte de radiação empregada foi uma lâmpada policromática com emissão nas faixas UVA–UVB e visível, simulando a luz solar. Na melhor condição testada (12 mM de H₂O₂), o processo Fenton promoveu cerca de 97% de degradação do corante em aproximadamente 210 minutos. A adição de luz ao sistema (processo foto-Fenton) reduziu significativamente o tempo necessário para a descoloração completa, alcançando remoção total em apenas 60 minutos. Esses resultados evidenciam o elevado potencial do MIL-101(Fe) como catalisador heterogêneo em tecnologias avançadas de tratamento de efluentes, configurando uma alternativa eficiente para a remoção de compostos orgânicos persistentes em meio aquoso.

Palavras-chave: Corantes têxteis, materiais porosos, Fenton heterogêneo, processos oxidativos avançados

ABSTRACT - Metal-organic frameworks (MOFs) have emerged as promising catalysts in environmental applications due to their high porosity, large surface area, and structural versatility. In this study, the MIL-101(Fe) MOF was synthesized via the solvothermal method and evaluated for its performance in the degradation of the azo dye Reactive Black 5 (RB5), a recalcitrant pollutant commonly found in textile effluents. The material was characterized by XRD, FTIR, TGA, BET surface area analysis, and SEM/EDS, confirming the formation of the desired crystalline structure, with characteristic thermal behavior, a specific surface area of 222 m<sup>2</sup> g<sup>-1</sup>, and a well-defined octahedral morphology. Catalytic tests were conducted in a batch reactor containing 300 mL of RB5 solution (50 mg L<sup>-1</sup>), using MIL-101(Fe) at 0.5 g L<sup>-1</sup> and hydrogen peroxide (H<sub>2</sub>O<sub>2</sub>) at two concentrations (6 mM and 12 mM). The radiation source employed was a polychromatic lamp emitting in the UVA–UVB and visible regions, simulating sunlight. Under the best tested condition (12 mM H<sub>2</sub>O<sub>2</sub>), the Fenton process achieved approximately 97% dye degradation in about 210 minutes. The addition of light to the system (photo-Fenton process) significantly reduced the time required for complete decolorization, reaching total removal in just 60 minutes. These results highlight the high potential of MIL-101(Fe) as a heterogeneous catalyst in advanced wastewater treatment technologies, representing an efficient alternative for the removal of persistent organic compounds in aqueous media.

Keywords: Textile dyes, porous materials, heterogeneous Fenton, advanced oxidation processes

### Introdução

As estruturas metal-orgânicas (do inglês *Metal-Organic Frameworks*, MOFs) são materiais cristalinos e altamente

porosos formados pela coordenação entre clusters metálicos e ligantes orgânicos, resultando em redes tridimensionais organizadas que criam estruturas abertas com alta

<sup>&</sup>lt;sup>1</sup> Instituto de Pesquisa em Petróleo e Energia (i-LITPEG), Universidade Federal de Pernambuco (UFPE), Av. Da arquitetura S/N, Recife, Pernambuco, Brasil.

<sup>&</sup>lt;sup>2</sup> Departamento de Engenharia Civil e Ambiental, Laboratório de Saneamento Ambiental (LSA), Universidade Federal de Pernambuco (UFPE), Av. Da arquitetura S/N, Recife, Pernambuco, Brasil.

<sup>&</sup>lt;sup>3</sup> Departamento de Química, Universidade Federal da Paraíba

<sup>\*</sup>eduarda.alvesm@ufpe.br





porosidade (1-2). A ampla variedade de combinações possíveis entre unidades metálicas e ligantes orgânicos permite o ajuste preciso das propriedades físico-químicas desses materiais, tornando-os materiais versáteis para aplicações catalíticas. Em 2013, a IUPAC definiu os MOFs como "redes de coordenação com ligantes orgânicos contendo potenciais vazios", reforçando seu caráter poroso e estruturado (3-4).

Os Materiais do Instituto Lavoisier, conhecidos como MILs, um tipo específico de MOFs, têm chamado atenção devido à sua notável resistência, grande número de poros e flexibilidade em termos de estrutura. Entre os MILs mais investigados, destacam-se o MIL-53, MIL-88, MIL-100 e MIL-101, cujas características podem ser moldadas dependendo do metal no centro e do tipo de conector orgânico. O MIL-101(Fe), em particular, tem se revelado interessante em usos ambientais, como em processos de oxidação avançada (POAs), por causa da presença de íons Fe³+ que são ativos em reações como a de Fenton. Sua forma porosa e estrutura bem definida auxiliam na passagem de reagentes e na recuperação do catalisador, fazendo dele uma opção eficiente e ecologicamente correta para limpar águas poluídas persistentes.

Nesse contexto, os POAs têm emergido como alternativas eficazes para o tratamento de efluentes contaminados por compostos orgânicos recalcitrantes. Esses processos se baseiam na geração de espécies reativas de oxigênio (ROS), com destaque para o radical hidroxila (•OH), que possui elevado potencial padrão de redução (Eº = 2,8 V). Essa característica não apenas permite a degradação de poluentes orgânicos, mas sua mineralização, convertendo-os em dióxido de carbono (CO<sub>2</sub>), água (H<sub>2</sub>O) e íons inorgânicos (5). Dentre os principais POAs aplicados à descontaminação ambiental, destacam-se a ozonização, a fotoeletrocatálise, a fotocatálise heterogênea e os processos UV associados a oxidantes. Destacam-se, em especial, as reações Fenton e foto-Fenton, reconhecidas pelo seu desempenho comprovado na degradação de poluentes presentes em efluentes têxteis (6).

O processo Fenton clássico envolve a decomposição do peróxido de hidrogênio (H<sub>2</sub>O<sub>2</sub>) catalisada por íons ferrosos (Fe<sup>2+</sup>), resultando na formação de radicais hidroxila (•OH), conforme a reação expressa pela Equação 1 (6):

$$Fe^{2+} + H_2O_2 \rightarrow Fe^{3+} + \bullet OH + OH^-$$
 (1)

Já a reação foto-Fenton consiste na adição da irradiação UV ao processo Fenton convencional, promovendo a fotorredução dos íons férricos (Fe³+) a ferrosos. Esse mecanismo regenera o agente catalítico, intensificando o ciclo de geração dos radicais hidroxila (•OH) e aumentando significativamente a eficiência do processo. É importante destacar que a reação de formação dos radicais hidroxila a partir do Fe³+ também é possível, entretanto, a cinética de geração é muito menor quando comparada a geração a partir do Fe²+. A fotorredução do Fe³+ ocorre segundo a Equação

(2):  

$$Fe^{3+} + hv \rightarrow Fe^{2+} + \bullet OH$$
(2)

O MIL-101(Fe) pode ser utilizado como catalisador heterogêneo no processo Fenton/foto-Fenton, atuando de forma sinérgica devido à sua estrutura que combina centros ativos de ferro com alta área superficial e capacidade de adsorção de poluentes e reagentes. A utilização dessa MOF torna o processo mais sustentável, uma vez que sua natureza heterogênea permite a recuperação e reutilização do catalisador, em contraste com o processo Fenton convencional, de natureza homogênea, no qual a recuperação do ferro solúvel é mais complexa e gera resíduos secundários.

Os íons Fe<sup>3+</sup> presentes no MOF participam do ciclo redox Fe<sup>3+</sup>/Fe<sup>2+</sup>, essencial para a geração contínua de radicais hidroxila. Sob irradiação luminosa, o MIL-101(Fe) também pode ser fotoativado, promovendo a transição eletrônica do HOMO para o LUMO e gerando pares elétron-lacuna (e-/h+). Os elétrons fotogerados (e-) podem reduzir O2 adsorvido, formando radicais superóxido (•O<sub>2</sub>-), enquanto as lacunas (h+) podem oxidar moléculas de água ou íons hidroxila, contribuindo para a formação adicional de •OH (7). Assim, o MIL-101(Fe) atua simultaneamente como catalisador heterogêneo no processo Fenton e como fotocatalisador no processo foto-Fenton, ampliando a eficiência degradação de poluentes na recalcitrantes.

O descarte de efluentes têxteis em corpos d'água representa uma das principais fontes de poluição industrial, resultando em alterações visuais e prejuízos ecológicos. A elevada demanda química e bioquímica de oxigênio desses efluentes compromete a fotossíntese de organismos aquáticos, afetando a biodiversidade e o equilíbrio dos ecossistemas (8). Além disso, a elevada estabilidade dos corantes azo frente à radiação, variações térmicas e biodegradação convencional dificulta sua remoção em estações de tratamento de efluentes (ETEs). Esses compostos são frequentemente associados a potenciais efeitos carcinogênicos, mutagênicos e tóxicos, sendo que seus impactos ambientais e riscos à saúde humana ainda não completamente compreendidos, em razão da grande diversidade estrutural que esses corantes podem apresentar (9, 10).

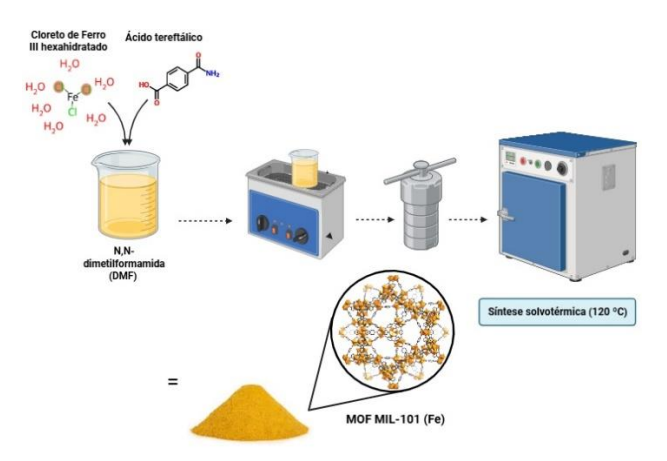
Este trabalho tem como objetivo a síntese do MOF MIL-101(Fe) por meio do método solvotermal, sua caracterização físico-química e a avaliação de seu desempenho como catalisador heterogêneo nos processos Fenton e foto-Fenton aplicados à degradação do corante azo Reactive Black 5 (RB5).

# Experimental

Síntese da MOF MIL-101(Fe)



A MOF MIL-101(Fe) foi preparada por meio de uma sínstese solvotérmica adaptada do procedimento descrito anteriormente (11), conforme ilustrado na Figura 1. Para a síntese, 2 mmol de cloreto férrico hexahidratado (FeCl<sub>3</sub>·6H<sub>2</sub>O, Sigma-Aldrich, >98%) e 1 mmol de ácido tereftálico (H<sub>2</sub>BDC, Sigma-Aldrich, >98%) dissolvidos em 10 mL de N,N-dimetilformamida (DMF, Sigma-Aldrich, >98%). A mistura foi submetida a sonicação por 30 minutos em temperatura ambiente (frequência de 40 kHz) para garantir a homogeneização completa dos reagentes. Em seguida, a solução foi transferida para um reator de Teflon acondicionado em sistema de aço inoxidável e submetida a aquecimento em estufa a 120 °C por 24 horas. Após o resfriamento, até a temperatura ambiente, o sólido obtido foi lavado três vezes com DMF e etanol, com o objetivo de remover resíduos de solvente e reagentes não consumidos. Por fim, o material foi seco a 60 °C por 24 horas, resultando em um pó alaranjado característico da MIL-101(Fe).



**Figura 1.** Esquema simplificado do procedimento da síntese solvotérmica da MIL-101(Fe).

#### Difração de Raios X (DRX)

A avaliação da estrutura cristalina da MOF MIL-101(Fe) foi realizada via análise de difração de raios X em difratômetro RIGAKU smartlab SE, com radiação CuKα de comprimento de onda 1,5406 Å, variação angular de 3 a 30°, incremento de 0,02°, velocidade de 2°min<sup>-1</sup>, tensão e corrente de 40 kV e 30 mA, respectivamente.

Espectroscopia no infravermelho por transformada de Fourier (FTIR)

Os grupos funcionais presentes na estrutura da MIL-101(Fe) foram identificados por espectroscopia no infravermelho por transformada de Fourier (FTIR), empregando um espectrômetro Spectrum 3 (PerkinElmer). As análises foram realizadas no modo transmitância, com aquisição de 30 varreduras por espectro, na faixa espectral de 4000 a 500 cm<sup>-1</sup>.



Análise termogravimétrica (TG/DTG)

A análise termogravimétrica da MIL-101(Fe) foi realizada em um analisador térmico Netzsch STA 449 F3 Jupiter. As medidas foram conduzidas na faixa de temperatura de 25 a 900 °C, com taxa de aquecimento de 10 °C min<sup>-1</sup>, sob fluxo contínuo de ar sintético (50 mL min<sup>-1</sup>).

Análise de área superfície específica

A determinação da área superficial específica da MIL-101(Fe) foi realizada por meio de análise de adsorção/dessorção de nitrogênio em um equipamento ASAP 2020 PLUS (Micromeritics). A amostra foi previamente tratada *in situ* sob vácuo; o cálculo da área superficial foi efetuado utilizando o método de Brunauer–Emmett–Teller (BET).

Microscopia eletrônica de varredura e espectroscopia de energia dispersiva (MEV/EDS)

A morfologia e composição elementar das amostras foram analisadas por MEV/EDS em um microscópio Tescan MIRA3 com emissão de campo (FEG), operando a 5 kV. As amostras foram fixadas em *stubs* com fita de carbono e metalizadas com ouro (~10 nm) sob vácuo em equipamento BAL-TEC SCD 050. A análise elementar foi realizada com o módulo EDS acoplado.

Experimento de degradação catalítica de Reactive Black 5 (RB5)

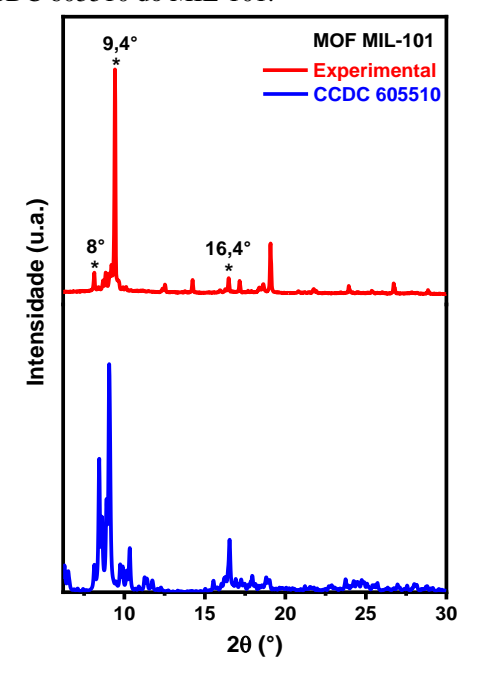
Os ensaios de degradação foram conduzidos em reator batelada com 300 mL de solução de RB5 (50 mg L-1), contendo MIL-101(Fe) (equivalente a 0,5 g L<sup>-1</sup>) e peróxido de hidrogênio (6 e 12 mM). Nos ensaios fotocatalíticos, utilizou-se uma lâmpada policromática (Osram Sunlight, 300 W), com emissão nas faixas UVA-UVB e visível. A irradiância equivalente a UVA-UVB foi ajustada para 4.6 mW cm<sup>-2</sup> e as amostras permaneceram 30 minutos no escuro para equilíbrio de adsorção, seguidos de 210 minutos sob irradiação, à temperatura ambiente e agitação em torno de 40 rpm. Alíquotas de 5 mL foram coletadas em diferentes tempos reacionais (0, 15, 45, 60, 120, 180 e 210 minutos), e filtradas a vácuo (membranas Millipore, 0,45 µm) e analisadas por espectrofotometria UV-Vis (Agilent Cary 100) para monitoramento da concentração do corante. Os processos de remoção de cor estudados foram: fotólise (apenas luz); adsorção (apenas catalisador, sem luz); fotocatálise heterogênea (apenas catalisador e luz); Fenton (catalisador, e H<sub>2</sub>O<sub>2</sub>, sem luz) e foto-Fenton (catalisador,  $H_2O_2$  e luz).

# Resultados e Discussão

Difração de Raios X



A estrutura cristalina da MIL-101(Fe) foi avaliada por difração de raios X, conforme mostrado na Figura 3, que compara o difratograma obtido com o padrão cristalográfico CCDC 605510 do MIL-101.



**Figura 2.** Difratograma de Raios X da MOF MIL-101.

As reflexões observadas em  $2\theta = 8.0^{\circ}$ ,  $9.04^{\circ}$  e  $16.4^{\circ}$  são características de MIL-101 (Cr), isoestrutural ao material sintetizado. Como não há padrão gratuito para o MIL-101(Fe), foi utilizado o padrão de sua isoestrutura.

Picos adicionais em  $2\theta = 12,3^{\circ}$ ,  $14,3^{\circ}$  e  $19,1^{\circ}$  sugerem a presença de impurezas, possivelmente associadas a resíduos do ligante  $H_2BDC$  não reagido. Esses resultados estão em concordância com estudos prévios de síntese solvotermal da MIL-101(Fe) (12, 13, 14).

Espectroscopia no infravermelho por transformada de Fourier (FTIR)

A presença dos grupos funcionais característicos da MIL-101(Fe) foi confirmada por espectroscopia FTIR, conforme mostra a Figura 3.



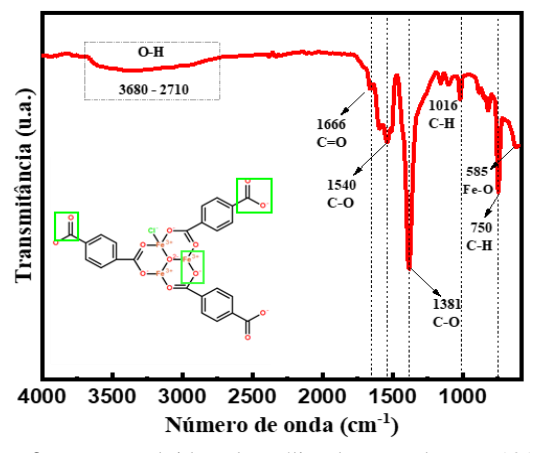
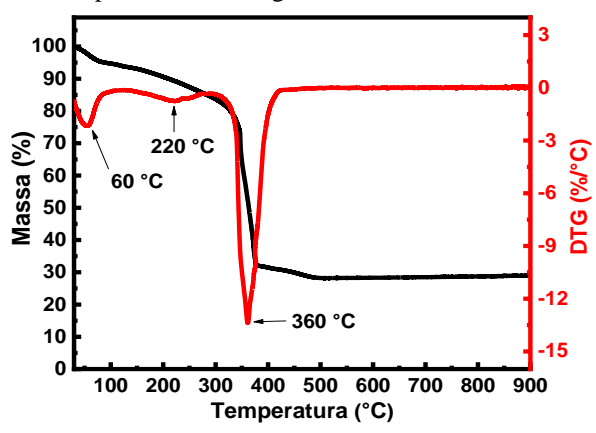


Figura 3. Espectro obtido pela análise de FTIR da MIL-101(Fe).

Observa-se pela análise da Figura 3, uma banda larga entre 2900 e 3660 cm<sup>-1</sup>, atribuída às vibrações de estiramento O– H. A banda em 1680 cm<sup>-1</sup>, correspondente ao estiramento C=O dos grupos carboxílicos dos ligantes de H<sub>2</sub>BDC, também está presente. Bandas em 1602, 1394 e 760 cm<sup>-1</sup> foram atribuídas às vibrações de C–O, C–O (possivelmente simétrica e assimétrica) e C–H, respectivamente. A banda em 573 cm<sup>-1</sup> indica a presença da ligação Fe–O, evidenciando a coordenação entre os íons Fe<sup>3+</sup> e os ligantes orgânicos (19).

Análise termogravimétrica (TGA/DTG)

O comportamento térmico da MIL-101(Fe) foi estudado conforme apresentado na Figura 4.



**Figura 4.** Curvas de TGA e DTG em ar da MOF MIL101(Fe).



A curva termogravimétrica da MIL-101(Fe) (Figura 4) revelou três principais etapas de perda de massa. A primeira, observada abaixo de 100 °C, com pico máximo em 60 °C na curva DTG, está associada à liberação de solventes voláteis remanescentes das etapas de lavagem do material. A segunda etapa, de menor expressividade, em torno de 216 °C corresponde a remoção de moléculas de solvente fortemente ligadas, como o DMF coordenado aos centros metálicos, além de possíveis ligantes aprisionados nos poros da estrutura. A terceira etapa, mais expressiva, ocorre entre 300 e 450 °C, com máximo em 360 °C, indicando uma perda de aproximadamente 44%, atribuída à decomposição do ligante orgânico e ao colapso da estrutura do MOF. A massa residual final, em torno de 31,3%, sugere a formação de espécies termoestáveis, possivelmente óxidos de ferro.

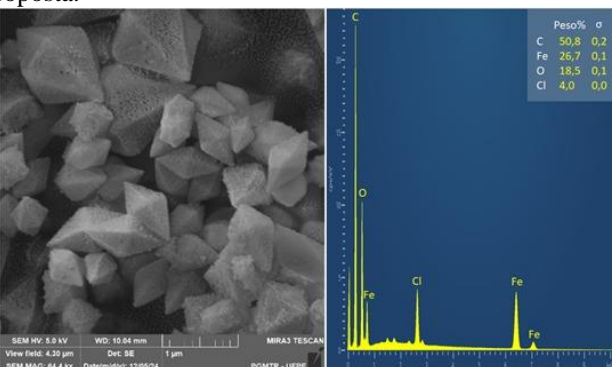
Resultados semelhantes foram relatados na literatura He *et al.* (15) observaram a degradação total da estrutura do MIL-101(Fe) e de seu compósito com TiO<sub>2</sub> por volta de 350 °C. De forma comparável, já foi reportado por D. Villarroel-Rocha *et al.* (16) a decomposição completa da estrutura da MIL-101(Fe) a 383 °C.

#### Análise de Área de Superfície Específica

O valor da área superficial específica, obtido a partir dos resultados da análise de adsorção/dessorção de nitrogênio, foi de 222 m² g⁻¹ para o material sintetizado. Esse valor está em consonância com dados reportados na literatura para o MIL-101(Fe) obtido por síntese solvotérmica. Zhou *et al.* (17) relataram uma área BET de 225,7 m² g⁻¹, enquanto Moazeni *et al.* (18) obtiveram valor semelhante, de 231 m² g⁻¹, confirmando a compatibilidade dos resultados obtidos neste estudo com os referenciais existentes.

Microscopia Eletrônica de Varredura e Espectroscopia de Energia Dispersiva

A análise morfológica por MEV, apresentada na Figura 5, revelou que a MIL-101(Fe) sintetizada apresenta partículas com estrutura predominantemente octaédrica, de superfície porosa e tamanhos variados de diâmetros médios de 400–800 nm, estando de acordo com a literatura (17, 19). A aparência porosa indica a síntese bem sucedida da MOF proposta.



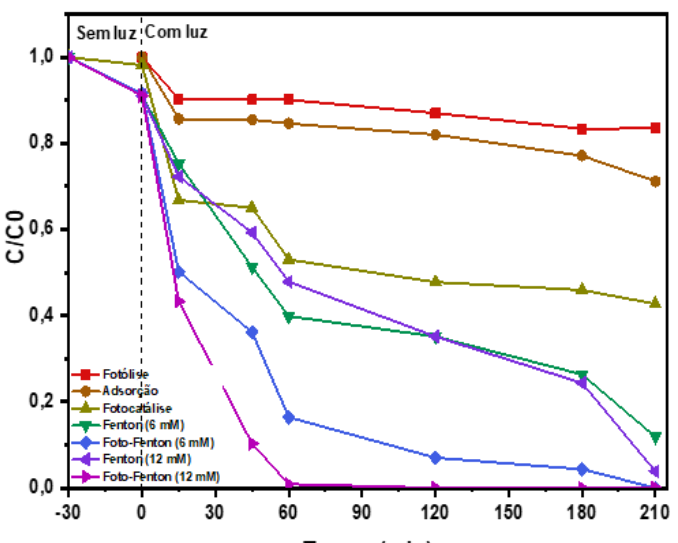


**Figura 5.** Micrografia e Espectro de Energia Dispersiva do MIL-101(Fe) obtido.

A composição elementar, determinada por EDS, indicou teores de 50,8% de C, 26,7% de Fe, 18,5% de O e 4% de Cl. Resultado semelhante foi reportado anteriormente por Zhou *et al.* (17) onde foi observado morfologia octaédrica para o MIL-101(Fe), com composição de 43,2% de C, 26,6% de Fe e 30,2% de O, porém, sem a detecção de Cl em sua estrutura.

Experimento de degradação catalítica de Reactive Black 5 (RB5).

A Figura 6 apresenta os resultados dos ensaios de degradação do corante RB5 obtidos para as diferentes condições avaliadas.



**Figura 6.** Curvas de **Tempo (min)** decaimento do corante RB5 (50 mg·L<sup>-1</sup>, 300 mL) por diferentes processos oxidativos ao longo do tempo de reação.

A fotólise direta e a adsorção isoladas apresentaram baixas eficiências na remoção do corante, alcançando apenas 16,4% e 25,9% de degradação após 210 minutos, respectivamente. Por outro lado, o uso do MIL-101(Fe) como catalisador em reações de fotocatálise heterogênea resultou em uma remoção significativamente maior, atingindo 55,4% no mesmo intervalo de tempo.

A introdução de peróxido de hidrogênio (6 mM) no sistema catalítico potencializou a reação do tipo Fenton, elevando a eficiência de remoção para 79,1%. Quando esse sistema foi combinado com radiação luminosa (processo foto-Fenton), a remoção aumentou ainda mais, atingindo 96% ao final do tempo de reação.

O aumento da concentração de peróxido de hidrogênio para 12 mM intensificou a geração de radicais hidroxila (•OH), o que resultou em uma maior eficiência do processo Fenton, com 87,2% de remoção. A combinação do



catalisador MIL-101(Fe), peróxido de hidrogênio (12 mM) e luz (foto-Fenton) levou à degradação completa do corante em apenas 60 minutos, e esta foi a condição mais eficiente observada neste estudo.

O incremento da eficiência com o aumento da concentração de  $H_2O_2$  pode ser atribuído à maior disponibilidade de moléculas do oxidante, que, na presença de íons ferro, são ativadas para gerar um número mais elevado de radicais •OH, os principais agentes oxidantes responsáveis pela degradação do corante. Além disso, os processos assistidos por luz, como a fotocatálise e o foto-Fenton, apresentaram desempenho superior provavelmente devido à fotorredução do  $Fe^{3+}$  a  $Fe^{2+}$ , o que favorece a regeneração contínua do ferro na forma ativa ( $Fe^{2+}$ ) e, consequentemente, sustenta a produção de radicais ao longo da reação.

# Conclusões

Os resultados obtidos neste estudo demonstram de forma clara o potencial do MIL-101(Fe) como catalisador heterogêneo nos processos Fenton e foto-Fenton, promovendo a completa degradação do corante azo Reactive Black 5 em curto intervalo de tempo, em comparação aos demais processos avaliados (fotólise, adsorção e fotocatálise heterogênea). A caracterização detalhada do material confirmou a formação da estrutura desejada, com propriedades estruturais e morfológicas favoráveis à sua aplicação ambiental. Nesse contexto, o uso de MOFs como o MIL-101(Fe) se apresenta como uma estratégia promissora e alinhada aos princípios da sustentabilidade, especialmente por possibilitar desenvolvimento de tecnologias de tratamento de efluentes energeticamente viáveis.

# Agradecimentos

Os autores agradecem à Fundação de Amparo à Ciência e Tecnologia do Estado de Pernambuco, FACEPE (Processo IBPG-0444-3.13/23), e à Reitoria de Pós-Graduação da Universidade Federal de Pernambuco pelo fomento da pesquisa; e ao Laboratório de Refino e Tecnologias Limpas do i-LITPEG pela infraestrutura.

#### Referências

- 1. S. Chuhadiya; D. Suthar; S.L. Patel; M.S. Dhaka, *Coord. Chem. Rev.* **2021**, *446*, 214115.
- 2. A. Dutta; Y. Pan; J.-Q. Liu; A. Kumar, *Coord. Chem. Rev.* **2021**, *445*, 214074.
- 3. Batten, S. R., Champness, N. R., Chen, X. M., Garcia-Martinez, J., Kitagawa, S., Öhrström, L., ... Reedijk, J., *Pure Appl. Chem.*, **2013**, 85(8), 1715–1724.



- 4. H.G. Palhares, Tese de Doutorado, Universidade Federal de Minas Gerais, 2023.
- 5. Araújo, K. S. D., Antonelli, R., Gaydeczka, B., Granato, A. C., Malpass, G. R. P., *ev. Ambient. Água*, **2016**, 11, 387–401.
- 6. M.P. Rayaroth, M. Marchel, G. Boczkaj, *Sci. Total Environ.* **2023**, 857, 159043.
- 7. Tahir, M., Ajiwokewu, B., Bankole, A. A., Ismail, O., Al-Amodi, H., Kumar, N., *J. Environ. Chem. Eng.*, **2023**, 11(2), 109408.
- 8. Al-Tohamy, R., Ali, S. S., Li, F., Okasha, K. M., Mahmoud, Y. A. G., Elsamahy, T., ... Sun, J., *Ecotoxicol. Environ. Saf.*, **2022**, 231, 113160.
- E. Brillas; R. Oliver, *Chemosphere*. **2024**, 341, 141766.
- 10. Shindhal, T., Rakholiya, P., Varjani, S., Pandey, A., Ngo, H. H., Guo, W., ... Taherzadeh, M. J., *Bioengineered*, **2021**, 12(1), 70–87.
- 11. X. Li, W. Guo, Z. Liu, R. Wang, H. Liu, *Appl. Surf. Sci.*, **2016**, 369, 130–136.
- 12. S. Edebali, Appl. Surf. Sci. Adv. 2023, 18, 100496.
- 13. A.S. Eltaweil, E.M. Abd El-Monaem, A.M. Omer, R.E. Khalifa, M.M. Abd El-Latif, G.M. El-Subruiti, *Desalination Water Treat.*, **2020**, 189, 395–407.
- 14. K. Li, D. Sun, H. Wu, D. Chen, P. Lu, J. *Taiwan Inst. Chem. Eng.*, **2025**, 168, 105951.
- 15. L. He, Y. Zhang, Y. Zheng, Q. Jia, S. Shan, Y. Dong, *Journal of Porous Materials*, **2019**, 26, 1839–1850.
- D. Villarroel-Rocha, C. García-Carvajal, S. Amaya-Roncancio, J. Villarroel-Rocha, D. A. Torres-Ceron, E. Restrepo-Parra, K. Sapag, Sci. Rep., 2024, 14, 29622.
- 17. Z. Zhou, Y. Ji, Y. Wang, M. Liu, Y. Xu, R. Liu, C. Zou, *Water, Air, and Soil Pollution*, **2024**, 235(5), 285.
- 18. M. Moazeni, S. M. Hashemian, M. Sillanpää, A. Ebrahimi, K.-H. Kim, *Journal of Environmental Management*, **2022**, 303, 113897.
- A. Franco, S. R. Balestra, S. Hamad, C. Carrillo-Carrión, Appl. Mater. Today, 2024, 39, 102266.
- Li, K., Sun, D., Wu, H., Chen, D., & Lu, P., Journal of the Taiwan Inst. Chem. Eng. 2025, 168, 105951.
- 21. C. Gao, S. Chen, X. Quan, H. Yu, Y. Zhang, J. *Catal.*, **2017**, 356, 125–132.
- 22. Pangestu, A., Lestari, W. W., Wibowo, F. R., & Larasati, L., Journal Inorg. Organomet. Polym. Mater., 2022, 32(5), 1828–1839.
- 23. Wang, X., Xu, M., Fan, W., Sun, D., Chin. J. Chem., 2023, 41(24), 3772–3791.